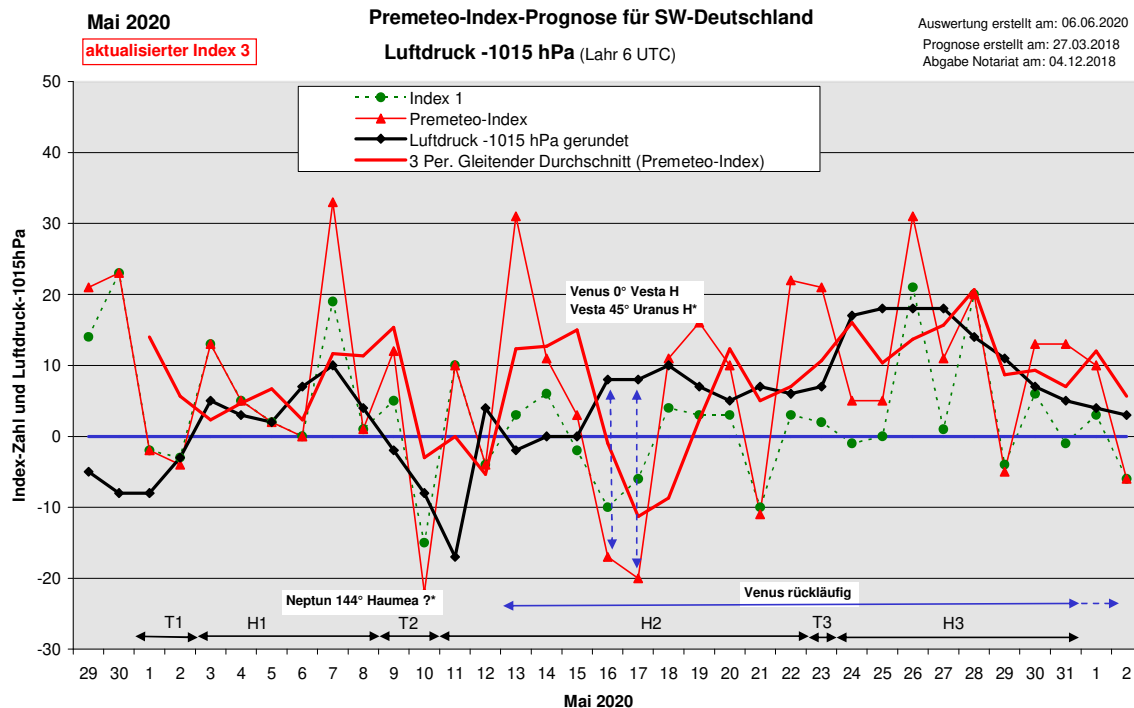


Wetterlagenverlauf Mai 2020 im Vergleich zur Premeteo-Indexprognose für Südwest-Deutschland

(Im Diagramm sind über der Datumsachse die real eingetreten Hoch- und Tiefdruckphasen durch Doppelpfeile eingetragen. Ausschlaggebend für die Evaluation ist der tägliche Premeteo-Index, in der dünneren, roten Linie mit Dreieckspunkten dargestellt. Ein negativer Premeteo-Index zeigt die Wahrscheinlichkeit für eine zyklonale Tiefdruckströmung, ein positiver Premeteo-Index die Wahrscheinlichkeit für eine antizyklonale Hochdruckströmung an.

Die Wetterlagenbeschreibungen wurden anhand der Berliner Wetterkarten erstellt. Ausschlaggebend ist die Europa-Bodenkarte um 0 UTC, die feiner skalierte 12 UTC-Karte von Mitteleuropa wird nur bei einem Wetterlagenwechsel für die Einordnung des Tages hinzugezogen. Am Ende des Dokuments befinden sich die Tabellen und Konstellationen, die dem Diagramm zugrunde liegen.)



Zusammenfassung: Der Mai 2020 zeigte durch die recht gute Bestätigung der Premeteo-Prognose, dass die Häufung der antizyklonalen Wetterlagen mit ihrer Trockenheit zu einem großen Teil durch die kosmischen Konstellationen bedingt ist und dass sich solche Konstellationen über Monate auch „zufällig“ häufen können. Acht negative Tage wies die Premeteo-Prognose auf und fünf wurden es im realen Wetterverlauf. Bei den beiden stark negativ prognostizierten Tagen vom 16. und 17. Mai blieb zwar in der Bodenatmosphäre die Hochdruckwetterlage erhalten, möglicherweise aufgrund einer Impulsumkehr oder aber aufgrund der Aspektkombination Venus 0° Vesta H mit Vesta 45° Uranus H*, das sich am Boden durchsetzte, während es in der Höhe auf 500 hPa zum Vorstoß einer kalten, zyklonalen Strömung bis an die Alpen kam (siehe Beschreibung der einzelnen Wetterphasen).

Entsprechend gut fiel insgesamt auch die Symbolprognose mit 17 richtigen und nur 6 falschen Tagen aus. Bezüglich der Wetterlage waren 24 Tage richtig prognostiziert.

Die beiden wärmsten Tage des Monats waren der 10. und der 22. Mai mit Tagesmitteltemperaturen in Lahr von 20,5 °C und 21,3° C. Dies geschah am 10. in Begleitung von Sonne 72° Varuna HW / 135° Makemake T / 60° Neptun W. Am 22. wurden Merkur 0° Venus W / 90° Neptun HK / 72° Chiron HW / 144° Jupiter T und Sonne 120° Saturn A / 144° Haumea T / 60° Varuna T exakt.

Interessant war die Entwicklung zum kältesten Tag des Monats am 12. mit einer Tagesmitteltemperatur von 7,8°C in Lahr, da die Tagesmitteltemperatur am 10. noch 20,5 °C

betragen hatte. Der Temperatursturz vollzog sich mit Merkur 0° Sedna H / 144° Quaoar H / 90° Mars Hf / 120° Pallas H / 30° KN1 K sowie Venus 30° Sonne TK.

Der höchste Luftdruck um 6 UTC in Lahr war vom 24. bis 26. mit 1031,8 bis 1033,4 hPa zu verzeichnen. Die wichtigsten Aspekte waren hierbei Mars 0° Ceres AW / 144° Varuna H, Vesta 144° Haumea H*, Jupiter 30° GaZ H* und Ceres 144° Varuna H*.

Der tiefste Luftdruck um 6 UTC in Lahr trat am 7. mit 998,3 hPa ein. Er ereignete sich zwischen den beiden Sonnen-T-Aspekten von 135° zu Makemake und zu Juno, die die zeitgleich auftretenden Merkur-H-Aspekte ausblendeten.

Beschreibung der einzelnen Wetterphasen:

Tiefdruckphase 1: Der Mai 2020 begann am 1. und 2. entsprechend dem Premeteo-Index mit einer zyklonalen Strömung durch Tief Zlatina über der Nordsee. Der Premeteo-Index summierte über die 2-tägige Tiefdruckphase auf -6.

Hochdruckphase 1: Am 3. wurde Hoch Paul II mit Kern über Nordostfrankreich wetterwirksam. Es bildete am 4. einen Kern über dem Nordostatlantik und einen zweiten Kern über den Ostalpen aus. Am 5. lag um 0 UTC nur noch ein Kern über der nördlichen Nordsee und verlagerte sich bis zum 7. nur wenig nach Süden. Erst zum 8., als der Premeteo-Index von +33 auf +1 fiel, beschleunigte sich seine Bewegung und erreichte die Ostalpen. Der Premeteo-Index summierte über die 6-tägige Hochdruckphase auf +54.

Tiefdruckphase 2: Am 9. reichte das flache Tief Aki mit Kern auf Höhe der Biskaya über Südwest- und Süddeutschland. Am 10. hatte sein Kern Nordwestfrankreich erreicht. Der Premeteo-Index summierte über die 2-tägige Tiefdruckphase auf -10.

Hochdruckphase 2: Um 0 UTC des 11. hatte Tief Aki einen Kern über Westfrankreich und einen weiteren über Ostpolen ausgebildet. Der Luftdruck erreichte in den frühen Morgenstunden sein Minimum, doch Hoch Quirinius über dem Nordostatlantik dehnte sich mit seiner maritimen Arktikluft so schnell nach Süden aus, dass Südwestdeutschland um 12 UTC schon unter seine antizyklonale Strömung zu liegen kam. Dabei trat im Laufe des Tages gepaart mit ausgiebigem Niederschlag ein Temperatursturz von rund 15°C ein, so dass in den frühen Morgenstunden des 12. die Frostgrenze erreicht und lokal unterschritten wurde. Auch noch am 13. blieb es regnerisch, da sich Tief Doreen mit Kern über der Nordwestküste Spaniens mit seinem Isobarenbereich kurzfristig bis in unsere Region durchsetzte. Aber ab 12 UTC und um 0 UTC des 14. lag Südwestdeutschland dann erneut unter dem Einfluss von Hoch Quirinius I, dessen Kern nun über dem Ostatlantik westlich von Großbritannien lag. Tief Doreen mit Kernen vor der portugiesischen Küste, über Südfrankreich und Norditalien dehnte um 0 UTC des 15. seinen Isobarenbereich über Südwest- und Süddeutschland aus. Doch lag unsere Region um 12 UTC bereits wieder in der antizyklonalen Strömung von Hoch Quirinius I und II, dessen Kerne am 16. über dem Ostatlantik und Tschechien positioniert waren. Zum 17. verblieb Hoch Quirinius I über dem Ostatlantik, während sich Kern II zur Westukraine verlagerte. Dem 16. und 17. waren bei der Prognose stark negative Werte von -17 und -20 zugeordnet worden. Während am 15. schon Druckfall einsetzte, stieg der Luftdruck entgegen dem Premeteo-Index zum 16. wieder kräftig an. Die vier T-Aspekte von Mars, Sonne und Merkur schienen entweder in der Bodenatmosphäre eine Impulsumkehr zu erfahren (Venus, die wir als hell strahlenden Abendstern der vergangenen Wochen bewundern konnten, ging am 13. in die Rückläufigkeit über.) oder die Aspektkombination Venus 0° Vesta H mit Vesta 45° Uranus H* verdrängte die T-Aspekte am Boden, denn auf 500 hpa erfolgte entsprechend dem Premeteo-Index eine Ausdehnung des nordischen Höhentiefs nach Süden bis an die Nordseite der Alpen. Am 18. lagen die beiden Kerne von Hoch Quirinius in der Bodenatmosphäre über Nordwestfrankreich und Ungarn, am 19. über dem Ostatlantik und dem Schwarzen Meer, wodurch Wetterlage und Premeteo-Index wieder in Übereinstimmung kamen. Hoch Quirinius zeigte sich am 20. noch mal mit einem Kern über dem Ärmelkanal, und am 21. ging die Regie der antizyklonalen Strömung auf das skandinavische Hoch Rolf über. Hoch Rolf I verblieb am 22. über Nordskandinavien, während sich Rolf II mit seinem Kern über

Westpolen befand. Der Premeteo-Index summierte über die 12-tägige Hochdruckphase auf +51.

Tiefdruckphase 3: Tief Gudrun bei Schottland setzte sich mit ausgiebigem Niederschlag am 23. durch. Es hatte sich am 21. bei einem Premeteo-Index von -11 (Einzeltag) über dem Nordatlantik bilderbuchmäßig in einer schönen Spirale schnell zu einem Sturmtief entwickelt, doch streifte es unsere Region mit zwei Tagen Verspätung gegenüber dem Premeteo-Index nur mit seiner südlichen Wolkenfahne. Der Premeteo-Index hatte einen Wert von +21.

Hochdruckphase 3: Hoch Steffen über der Biskaya dehnte seine Isobaren am 24. über Deutschland aus. Während der Luftdruck kräftig anstieg, fiel der Premeteo-Index am 24. und 25. in den flach positiven Bereich. Dieser Luftdruckfall ereignete sich auf 500 hPa, wo sich eine zyklonale Nordströmung einstellte. Am Boden dagegen entwickelte Hoch Steffen am 26. einen Kern über dem Ostatlantik und einen Kern über Nordwestdeutschland. Der westliche Kern des Hochs erreichte bis zum 28. über Großbritannien die Nordsee, der östliche über Mitteldeutschland die Alpen. Auch am 29. existierten noch zwei Kerne: über Norwegen und der Nordsee. Das Luftdruckmaximum konzentrierte sich schließlich am 30. und 31. in einem Kern über Skandinavien. Der Premeteo-Index summierte über die 8-tägige Hochdruckphase auf +93.

SW-D befand sich an 26 Tagen im Einflussbereich antizyklonaler Strömung. Die Summe des prognostizierten Premeteo-Index für diese Tage ergab +198. Dies entsprach einer Indexzahl von +7,62 pro Tag.

An 5 Tagen befand sich SW-D im Einflussbereich zyklonaler Strömung. Die Summe des prognostizierten Premeteo-Index für diese Tage ergab +5. Dies entsprach einer Indexzahl von +1 pro Tag.

Die Prognose durch die Premeteo-Wettersymbole war an 6 Tagen falsch (am 13., 14., 16., 17., 22., 23.), an 18 Tagen richtig und an 7 Tagen tendenziell richtig.

Zu den Tabellen



06.06.2020
Maï 2020
01.05.2020



Prognose für SW-Deutschland
 aktualisierter Index 3

Der Zeitraum vom 3. bis zum 10. ist **konjunktionfrei!** Am 8. wird **Neptun 144° Haumea 2°** exakt! Am 12. tritt dieser Aspekt im Index 2 auf. Vom 16. bis 23. **Pallas 0° Saturn A** (Kälte?). Vom 17. bis 23. **Venus 90° Neptun T** (Kälte?). Vom 19. bis zum 31. **Juno 0° Makemake A**. Am 30. erscheint **Pluto 90° Orcus 2°** im Index 2.
 Die rot markierten Aspekte im Index 3 sind Aspekte, bei denen der ursprüngliche Konjunktionsplanet den höheren Rang hat als der Partnerplanet. Das bedeutet, dass der Konjunktionsplanet bei diesen Aspekten immer als Planet 2 auftritt. Diese Aspekte werden ab Januar 2020 nicht mehr angerechnet.

Langsamläufer-Impulse		H*						?		
Schnellläufer-Impulse	Tf	H	Hf	T, Hf, H		H	2Hf, 3H, 3T	T, H	H, Tf, T	2H, T
Temperaturimpulse	K	K?		K	w		W, K			W
Premeteo-Index -zyklonal, + antizyklonal (Index 1+2+3)	-2	-4	13	5	2	0	33	1	12	-22
Pre.IX (ALTERNATIV)		4								
Index 1 (12 - 12 UTC) exakte Aspekte des Tages	-2	-3	13	5	2	0	19	1	5	-15
Index 1 (ALTERNATIV)										
Symmetrien (0 - 0 UTC)	Cer 150 Var GSZ (08) A* A* ?*	Mer 3 Son Ura (12) H A 0/+7 Index 3!	Chi 73 Ven Plu (13) A H2?(4/2) T ...				Mer 135 Qua Mak (05) Hf H ?* +14	Mer 4 Son Sed (17) H H ...	Jup 30 Mar GaZ (08) A H* H+7 GaZ 61 Mar Hau (18) H ?* A+7	Son 135 Qua Mak (00) Tf T -14 Mer 150 Hau GaZ (09) A A ?* 0
Index 2 (12 - 12 UTC)	0	0	0	0	0	0	14	0	7	-7
Index 2 ALTERNATIV		7								
ausgelöste Aspekte (= durch Konjunktionen aktivierte Aspekte)	Chi 30 Ura H8	Auslösung Index 2: Mer 144 GSZ T -10								
Index 3 (Summe)	0	-1	0	0	0	0	0	0	0	0
Index 3 ALTERNATIV		0								
Symbol-Prognose	3	3	2	3	3	3	2	3	2	3
Symbol-Prognose altern.	3	3	2	3	3	3	2	3	2	3
Wochentag	Fr	Sa	So	Mo	Di	Mi	Do	Fr	Sa	So
Datum	1	2	3	4	5	6	7	8	9	10
reale Wetterlage	T1: Tf - H*, H / -6		H1: 4Hf, 6H - 5T - ?* / +54						T2: Tf, 2T - 3H / -10	
Luftdruck (hPa) 06 UTC	1007,1	1011,9	1019,8	1017,8	1016,8	1022,1	1025	1019,3	1013,3	1007,3
mittl. Temp.(°C)	11,7	10,2	12,1	10,1	11,7	11,7	13,6	17,8	18,1	20,5
Sonnenscheindauer (h)	2,1	4,3	9,8	6,3	1,2	13,6	13,6	10,1	9,3	5,8
Niederschlag (Liter)	6,3 / 7	0,2 / 6	0,4	0,7	0	0	0	0	0,1	1,9
Bodenwetterlage 00 UTC (Kernlage des Druckgebiets, das SW-D beeinflusst)	T ü Nsee	T ü N - u Osee	H ü NO-F	H ü O-Alp, T ü MO-F	H ü N-Nsee	H ü Nsee	H mit Kernen ü Nsee u S-D	H ü O-Alpen	fl T ü W-Bisk	T ü NW-F
Bodenströmung 12 UTC zyklonal (z), antizyklonal (a)	a-z	a-z	fl a	fl a	a	a	a	fl a	fl a	a-z
Strömung auf 500 hPa 00 UTC	WSW z	W z	NW fl a	NW fl a	NW a-z	W fl a	N a	W a	SW a	SW a
zutreffende Wettersymbole	5 hr	3-5 r	2-3 r	3 r	2-5 r	2 hr	2 r	2 hr	2 r	3 r

Übertrag
 Index 1: -2
 Index 2: 0

03:42	05:07	00:16	03:58	01:10	01:06	01:16	02:51	01:55	00:22
MER 0 URA STI 06°52'03" STI 06°52'01" AK	MAR 45 CHI WAS 22°28'11" WID 07°28'10" HK? +4	MER 30 APO STI 10°48'13" WID 10°48'13" A	VEN 90 NEP ZWI 20°18'05" FIS 20°18'05" T K -2	MER 72 CER STI 15°10'60" FIS 03°10'58" A	MER 135 GSZ STI 17°20'31" WAA 02°20'34" A	MER 135 QUA STI 19°31'36" STE 04°31'34" HI +7	MER 135 JUN STI 21°50'24" WAA 06°50'26" A	MAR 30 JUP WAS 27°11'32" STE 27°11'32" A	CER 60 QUA FIS 04°29'23" STE 04°29'23" A*
03:43	08:22	04:48	04:22	07:03	02:34	06:31	13:15	04:25	05:19
SON 144 FY9 STI 11°14'13" WAA 05°14'12" A	MAR 135 JUN WAS 22°33'47" WAA 07°33'47" A	MER 144 FY9 STI 11°12'27" WAA 05°12'24" HI +7	MAR 144 JUN STI 13°18'51" WAA 07°18'48" HI +7	SON 72 CER STI 15°14'57" FIS 03°14'56" AW	MAR 72 URA WAS 25°09'01" STI 07°09'01" A	VEN 144 JUP ZWI 21°09'20" STE 27°09'21" HI +8	MER 45 CHI STI 22°46'45" WID 07°46'47" T -2	MER 30 ERI STI 24°08'49" WID 24°08'50" HI +1	MER 150 EL6 STI 26°22'58" WAA 26°22'58" A
10:06	17:55	09:40	13:56	15:58	08:00	06:43	15:53	10:22	06:07
MER 30 CHI STI 07°25'44" WID 07°25'46" A	MER 120 ORC STI 10°14'21" JUN 10°14'23" A	SON 144 JUN STI 13°25'02" WAA 07°25'02" A	MAR 60 ERI WAS 24°06'01" WID 24°06'01" A	URA 150 JUN STI 07°07'30" WAA 07°07'30" A*	MER 30 VES STI 17°57'56" WID 17°57'57" A	MER 72 VAR STI 20°01'11" LÖW 02°01'10" H +2	NEP 144 HAU FIS 20°24'38" WAA 26°24'38" ?	SON 30 VES STI 19°15'07" ZWI 19°15'07" A	SON 72 VAR STI 20°02'50" LÖW 02°02'49" HW ...
12:57	19:19	13:59	21:43	16:45	15:01	08:09	17:04	13:18	07:41
MER 150 JUN STI 07°40'45" WAA 07°40'44" A	JUN 180 CHI WAA 07°29'57" WID 07°29'57" A*	MER 135 GaZ STI 12°01'36" SCH 27°01'37" A	MER 0 SON STI 14°52'21" STI 14°52'22" H +2	MER 45 KN1 STI 16°35'17" KRE 01°35'16" A	SON 45 KN1 STI 16°32'18" KRE 01°32'19" H +3	MER 135 FY9 STI 20°08'57" WAA 05°08'57" H +2	PLU 144 VES STE 24°57'08" ZWI 18°57'08" A	MER 120 PLU STI 24°56'46" STE 24°56'48" A	SON 135 FY9 STI 20°06'37" WAA 05°06'38" T -6
19:26	22:30	16:48	20:12	10:43	20:09	10:58	20:09	17:55	12:31
VEN 72 CHI ZWI 19°28'57" WID 07°26'57" A	JUP 30 GaZ STE 27°01'37" SCH 27°01'37" H* +6	SAT 135 VES WAS 01°54'47" ZWI 16°54'46" A*	MAR 30 PLU WAS 24°58'04" STE 24°58'04" A	MER 60 NEP STI 20°22'53" FIS 20°22'55" T W ...	MAR 60 GaZ WAS 27°01'38" SCH 27°01'39" H +4	SON 135 GSZ STI 17°20'33" WAA 02°20'34" T -3	MAR 90 Sed WAS 27°38'58" STI 27°38'59" T ...	SON 135 QUA STI 19°29'39" STE 04°29'38" Tf -9	MER 45 APO STI 26°37'08" WID 11°37'09" A
20:29	23:15	23:28	20:12	10:58	17:52	17:52	18:03	14:37	16:18
MER 144 GSZ STI 08°20'33" WAA 02°20'35" Tf -7	SON 135 GaZ STI 12°01'36" SCH 27°01'36" A	VES 45 VAR ZWI 16°59'35" LÖW 01°59'34" A*	MAR 30 VES STI 17°57'56" WID 17°57'57" A	MER 135 GSZ STI 17°20'33" WAA 02°20'34" T -3	MER 144 GaZ STI 21°01'41" SCH 27°01'38" A	MER 144 KN2 STI 25°22'23" SCH 01°22'23" A	MER 120 JUP STI 27°12'54" STE 27°12'55" A	MER 150 GaZ STI 27°01'38" SCH 27°01'39" A	SON 60 NEP STI 20°27'25" FIS 20°27'25" AW
23:34	19:39	23:17	23:02	20:13	20:40	23:02	19:39	16:18	19:39
CER 150 GSZ FIS 02°20'35" WAA 02°20'35" A*	MAR 45 APO WAS 26°20'30" WID 11°20'30" H +4	MAR 144 GSZ WAS 26°20'34" WAA 02°20'34" A	MER 30 VEN STI 21°16'52" ZWI 21°16'52" T K -1	MAR 120 EL6 WAS 26°25'24" WAA 26°25'24" A	MAR 45 APO WAS 26°20'30" WID 11°20'30" H +4	MAR 60 GaZ WAS 27°01'38" SCH 27°01'39" H +4	MAR 90 Sed WAS 27°38'58" STI 27°38'59" T ...	SON 60 NEP STI 20°27'25" FIS 20°27'25" AW	MER 0 SED STI 27°39'50" STI 27°39'50" H +2

Mai 2020



Prognose für SW-Deutschland

aktualisierter Index 3

Der Zeitraum vom 3. bis zum 10. ist **konjunktionfrei!** Am 8. wird **Neptun 144° Haumea** ?* exakt! Am 12. tritt dieser Aspekt im Index 2 auf. Vom 16. bis 23. **Pallas 0° Saturn A** (Kälte?). Vom 17. bis 23. **Venus 90° Neptun T** (Kälte?). Vom 19. bis zum 31. **Juno 0° Makemake A**. Am 30. erscheint **Pluto 90° Orcus** ?* im Index 2.

Die rot markierten Aspekte im Index 3 sind Aspekte, bei denen der ursprüngliche Konjunktionsplanet den höheren Rang hat als der Partnerplanet. Das bedeutet, dass der Konjunktionsplanet bei diesen Aspekten immer als Planet 2 auftritt. Diese Aspekte werden ab Januar 2020 nicht mehr angerechnet.

Langsamläufer-Impulse				H*					T*, H*		
Schnellläufer-Impulse	H, Hf, T	T, 2H	H	H, T	H	Tf	3T	T, H, Hf			H, 2T
Temperaturimpulse		K	W	K	2W, K?, W?		W	K?, W			W?, K
Premeteo-Index - zyklonal, + antizyklonal (Index 1+2+3)	10	-4	31	11	3	-17	-20	11	16	10	
Pre.IX (ALTERNATIV)	10	10				-3	-6	25	24		
Index 1 (12 - 12 UTC) exakte Aspekte des Tages	10	-4	3	6	-2	-10	-6	4	3	3	
Index 1 (ALTERNATIV)									11		
Symmetrien (0 - 0 UTC)	Mer 22 Ven Ura (18) H K? 0+14 Wegen Venus-Sonne-T. Aspekt im Index 1	GaZ 145 Son Var (06) A A?*(21) H 0 Sat 120 GSZ Mer (16) H*(12,5/4) A H +7 Mer 121 Pal GSZ (16) H H A* +14 Mer 120 Sat GSZ (22) A H H*(12,5/4) (+7) Hau 144 Nep Mer (23) ?* A A W ?	Sed 5 Son Mer (03) A H --- GSZ 120 Sat Mer (05) H*(12,5/4) H A +7		Mar 37 Plu Chi (09) H*(4/2) --- Ura 30 Chi Mer (10) H* (8/3) A W? A W ---	Mar 150 Var GSZ (11) Tf A ?* -14 Plu 135 Orc Mer (15) ?* T T -7	Mer 136 Plu Hau (02) T A ?* -7 Son 150 Hau GaZ (02) T A ?* -7 Mer 134 Jup Hau (17) A A H* ---			Son 22 Ven Ura (00) H K? --- Ven 3 Ven Mer (18) H A W --- Auslösung Index 3!	
Index 2 (12 - 12 UTC)	0	0	28	0	0	-14	-21	0	0	0	
Index 2 (ALTERNATIV)	0	14									
ausgelöste Aspekte (= durch Konjunktionen aktivierte Aspekte)	Mar 90 Sed T-4 Jup 120 Sed H6 Qua 144 Sed A?*(6,5/2) Sed 150 GaZ ?*			Ves 144 Jup H5	Ves 144 Jup H5	(Sat 180 Var H7) Sat 120 GSZ H7 (Sat 150 Knt H7) (Sat 30 Kn2 H7) Ves 45 Ura H5	(Sat 180 Var H7) Sat 120 GSZ H7 (Sat 150 Knt H7) (Sat 30 Kn2 H7) Ves 45 Ura H5	Jup 120 Sed H6 (Sat 180 Var H7) Sat 120 GSZ H7 (Sat 150 Knt H7) (Sat 30 Kn2 H7) Qua 144 Sed A?*(6,5/2) Sed 150 GaZ ?*	Jup 120 Sed H6 Sat 120 GSZ H7 Qua 144 Sed A?*(6,5/2) Sed 150 GaZ ?*	Mar 150 Mak H4 Sat 120 GSZ H7 Qua 90 Mak ?*	
Index 3 (Summe)	0	0	0	5	5	7	7	7	13	7	
Index 3 (ALTERNATIV)						21	21	21			
Symbol-Prognose	3	3	2	2	3	5	5	2	2	2	
Wochentag	Mo	Di	Mi	Do	Fr	Sa	So	Mo	Di	Mi	
Datum	11	12	13	14	15	16	17	18	19	20	
reale Wetterlage	H2: 2H*, 2Hf, 11H - 2T*, Tf, 11T / +51										
Luftdruck (hpa) 06 UTC	998,3	1019,2	1013,1	1014,7	1014,7	1023	1022,8	1024,6	1021,8	1020,2	
mittl. Temp.(°C)	8,7	7,8	8,9	10,8	12,9	12,7	13,9	16,4	18,2	18,7	
Sonnenscheindauer (h)	0	9,6	0,3	0	3,5	13,9	14,3	14,3	12,9	12,4	
Niederschlag (Liter)	12 / 20	0	8,6 / 9,5	0	0	0	0	0	0	0	
Bodenwetterlage 00 UTC (Kernlage des Druckgebets, das SW-D beeinflusst)	T ü W-F, NO-Polen, H ü NO-Atl	H ü NO-Atl	T ü NW-Iber, T ü Balea, H ü Isl	H ü O-Atl, T w Iber	T m Kernen ü SW-F, GG, N-Italien	H m Kernen ü O-Atl, Tschech, T ü N-Italien	H ü O-Atl, W-Ukrai	H m Kernen ü NW-F, Ungarn	H ü O-Atl, H ü Öster, T bei Korsi	H ü Ärmel, T ü Tyrh u JonM	
Bodenströmung 12 UTC zyklonal (z), antizyklonal (a)	fl a	a	a	fl a	fl a	fl z	fl a	fl a	fl z	a-z	
Strömung auf 500 hpa 00 UTC	SW fl a	NW z	W fl a	SW fl z	SW fl a	SW a-z	NW z	NO a-z	NO a	NO a-z	
zutreffende Wettersymbole	5 hr	2 hr	3-5 f	5 f	2-5 r	2 f	2 f	2 r	2 r	2 r	

04:46	01:58	00:36	00:55	06:51	00:27	10:49	02:08	13:49	11:15
MER 144 QUA STI 28°28'31" STE 04°28'29" H +1	VEN 30 SON STI 21°48'42" WAA 26°20'01" T K -2	MER 144 EL6 ZWI 02°20'01" WAA 26°20'01" A	MER 150 QUA ZWI 04°26'11" STE 04°26'12" A	SON 120 PLU STI 24°54'09" STE 24°54'08" A	MAR 30 SAT FIS 01°56'17" WAS 01°56'16" A	MER 135 EL6 ZWI 11°15'31" WAA 26°15'31" A	MER 60 APO ZWI 12°28'59" WID 12°29'00" T -1	MAR 60 QUA STE 04°21'23" A	MER 135 SAT ZWI 16°53'11" WAS 01°53'12" A W?
06:29	07:52	00:42	04:34	09:44	06:35	11:47	06:04	22:34	12:28
SON 144 GaZ STI 21°01'40" SCH 27°01'40" A	MER 120 PAL ZWI 00°52'13" WAA 02°20'34" H +1	MER 120 GSZ ZWI 02°20'33" WAA 02°20'34" H +2	VES 144 JUP ZWI 21°14'25" STE 27°14'26" H* +5	VEN 0 VES ZWI 21°45'02" WAA 02°06'43" TI -10	MAR 150 VAR FIS 02°06'43" LÖW 02°06'43" TI -10	SON 150 GaZ STI 27°01'42" SCH 27°01'42" A	SON 0 SED STI 27°45'44" STI 27°45'45" AK?	MER 135 PAL ZWI 15°55'53" WAS 00°55'52" A	MAR 150 FY9 FIS 04°59'46" WAA 04°59'45" H +4
07:34	08:53	02:38	08:13	11:02	09:45	16:19	21:08		15:00
MER 90 MAR STI 28°43'27" WAS 28°43'28" Hf +7	CER 150 FY9 FIS 05°05'07" WAA 05°05'07" A*	MER 72 NEP ZWI 02°30'38" FIS 20°30'37" A W	MER 120 FY9 ZWI 05°03'42" WAA 05°03'43" A	SON 144 KN2 STI 25°04'14" STE 01°04'15" AK?	MER 45 ERI ZWI 09°13'05" WID 24°13'05" A	PAL 150 KN1 WAS 00°57'12" KRE 00°57'12" T* --- Index 3	SON 144 QUA STI 28°22'01" STE 04°22'00" H W +3		MER 45 VAR ZWI 17°09'58" LÖW 02°09'59" T -1
17:48	09:53	07:31	12:53	15:17	14:42	16:42	21:28		21:54
SON 135 JUN STI 21°28'59" WAA 06°28'58" T -3	NEP 90 VES FIS 20°29'43" ZWI 20°29'43" A*	SON 45 CHI STI 23°00'00" WID 07°59'60" A	MAR 30 PAL ZWI 00°55'38" WAS 00°55'38" A W?	MER 30 URA ZWI 07°41'12" STI 07°41'14" A W?	MAR 150 GSZ FIS 02°20'33" WAA 02°20'33" A	SON 120 JUP STI 27°13'33" STE 27°13'32" A W	VEN 144 JUP ZWI 21°12'41" STE 27°12'41" Hf 0/+8		SED 45 APO STI 27°47'53" WID 12°47'53" A*
20:26	11:56	15:42	13:22	20:23	15:06	22:21			23:00
MAR 144 FY9 WAS 29°05'29" WAA 05°05'29" A	MER 30 KN1 ZWI 01°13'37" KRE 01°13'40" A	MAR 144 JUN FIS 00°19'28" WAA 06°19'27" A	SON 30 ERI STI 24°11'60" WID 24°12'01" A	MER 60 CHI ZWI 08°06'43" WID 08°06'44" A W	CER 150 JUN FIS 06°07'11" WAA 06°07'11" A*	VES 45 URA ZWI 22°48'50" STI 07°48'50" H* +5			VEN 90 NEP ZWI 20°39'48" FIS 20°39'49" T K -2
	20:15		15:00		16:55	22:43			
	MER 120 SAT ZWI 01°57'16" WAS 01°57'17" A		MER 90 CER ZWI 05°38'23" FIS 05°38'24" HK +1		SON 150 EL6 STI 26°16'15" WAA 26°16'16" T -3	SON 45 APO STI 27°28'02" WID 12°28'03" A			
	21:37		19:10		17:55	22:52			
	MER 60 VAR ZWI 02°04'25" LÖW 02°04'26" H +1		MAR 120 KN1 FIS 01°06'21" KRE 01°06'21" T -4		MER 135 PLU ZWI 09°53'16" STE 24°53'18" T -1	MER 135 JUP ZWI 12°13'24" STE 27°13'22" A			
			21:58		21:20				
			MER 120 JUN ZWI 06°13'50" WAA 06°13'53" A		MER 90 ORC ZWI 10°09'60" JUN 10°09'58" T -2				

Mai 2020



Prognose für SW-Deutschland

aktualisierter Index 3

Der Zeitraum vom 3. bis zum 10. ist **konjunktionsfrei!** Am 8. wird **Neptun 144° Haumea** ? exakt! Am 12. tritt dieser Aspekt im Index 2 auf. Vom 16. bis 23. **Pallas 0° Saturn A** (Kälte?). Vom 17. bis 23. **Venus 90° Neptun T** (Kälte?). Vom 19. bis zum 31. **Juno 0° Makemake A**. Am 30. erscheint **Pluto 90° Orcus** ? im Index 2.
Die rot markierten Aspekte im Index 3 sind Aspekte, bei denen der ursprüngliche Konjunktionsplanet den höheren Rang hat als der Partnerplanet. Das bedeutet, dass der Konjunktionsplanet bei diesen Aspekten immer als Planet 2 auftritt. Diese Aspekte werden ab Januar 2020 nicht mehr angerechnet.

Langsamläufer-Impulse	T*				H*	2H*	H*	H*	H*				
Schnellläufer-Impulse	H, T	2H, 3T	H	T	3T, 2H	2H, Hf, 2T	2T	2H	3T, H	2T, 2H			
Temperaturimpulse	K	2W, K	W	W					K	W*			
Premeteo-Index -zyklonal, + antizyklonal (Index 1+2+3)	-11	22	21	5	5	31	11	20	-5	13	13		
Pre.IX (ALTERNATIV)		8											
Index 1 (12 - 12 UTC) exakte Aspekte des Tages	-10	3	2	-1	0	21	1	20	-4	6	-1		
Index 1 (ALTERNATIV)													
Symmetrien (0 - 0 UTC)	Ves 76 Chi Orc (08) A* ... Son 23 Ura Ves (21) H* ...	Sat 120 Son GSZ (00) A H*(12,5,4) H +70 Var 145 GaZ Cer (00) A*(2,1) H* A* W* +7 Chi 71 Jup Mer (00) A* H W T ... Son 121 Pal GSZ (06) T H A ? Hau 144 Son Nep (08) T ? A W 0-7 Var 60 Son GSZ (17) T ? H (+7) Son 120 Sat GSZ (24) A* H (+7)	GSZ 120 Son Sat (13) H H*(12,5,4) A (+7) Chi 71 Ven Jup (13) A* Hst Mer 3 Ven Ves (17) A W H (+7) Auslösung Index 3!	Var 145 Mar GaZ (02) H A*(2,1) A* 7 Mer 76 Chi Orc (21) H* ...	Chi 30 Mar Ura (04) A H*(8,3) A ... GaZ 180 Ven Mer (22) A* T -7	Mar 45 Plu Eri (06) A H A*(4,5) +7	Ven 10 Son Ves (10) A W H ... Son 10 Ven Sed (12) A W A ...	Ura 30 Son Chi (02) T H*(8,3) H ... Mer 40p Qua GaZ (05) A T ... Chi 30 Ura Cer (11) H*(8,3) H* A* ... Orc 10p Mar Cer (23) H A* +7	Plu 135 Son Orc (06) H ? A* +7 Mer 68 Orc Eri (11) A*(2,3) ... Eri 45 Son Cer (14) A* A* T K ... Son 90 Orc Cer (14) A T K A* -7	Son 136 Plu Hau (09) H H ? +14 Mar 76 Sed GaZ (16) ? ...			
Index 2 (12 - 12 UTC)	0	14	7	7	0	0	0	0	0	7	14		
Index 2 ALTERNATIV		0											
ausgelöste Aspekte (- durch Konjunktionen aktivierte Aspekte)	Mar 150 Mex H4 Sat 120 GSZ H7 Qua 90 Mak ? Auslösung durch Index 2: Son 120 Pal T-3 Ves 60 Eri T-5	Ven 90 Nep T-2 Sat 120 GSZ H7 Qua 90 Mak ?	Sat 120 GSZ H7 Cer 144 Var H5 Qua 90 Mak ?	Cer 144 Var H5 Qua 90 Mak ? Auslösung durch Index 2: Ven 90 Nep T-2 Mer 80 Nep H+1 Ves 60 Eri T-5	Cer 144 Var H5 Qua 90 Mak ?	Cer 144 Var H5 Ves 120 Hau H5 Qua 90 Mak ?	Cer 144 Var H5 Ves 120 Hau H5 Qua 90 Mak ?	Qua 90 Mak ?	Mer 150 Pal T-1 Qua 90 Mak ?	Qua 90 Mak ?	Qua 90 Mak ?		
Index 3 (Summe)	-1	5	12	-1	5	10	10	0	-1	0	0		
Index 3 ALTERNATIV													
Symbol-Prognose	3	2	2	3	3	2	2	2	3	2	2		
Wochentag	Do	Fr	Sa	So	Mo	Di	Mi	Do	Fr	Sa	So		
Datum	21	22	23	24	25	26	27	28	29	30	31		
reale Wetterlage			T3: H / +21	H3: Hf, 5H*, Hf, 9H - 13T / +93									
Luftdruck (hpa) 06 UTC	1021,5	1020,9	1022,2	1031,8	1033,4	1033,4	1033,1	1029,2	1026,2	1021,7	1019,7		
mittl. Temp.(°C)	19,1	21,3	14,2	14,3	14,6	15,2	16,3	16,6	16,4	15,5	15,6		
Sonnenscheindauer (h)	14,4	4	0,7	10,8	10,5	14,4	14,7	12	11,6	10,7	14,7		
Niederschlag (Liter)	0	0,6	18,1 / 23	0	0	0	0	0	0	0	0		
Bodenwetterlage 00 UTC (Kernlage des Druckgebets, das SW-D beeinflusst)	H m Kernen ü Skand u Osee	H ü W-Polen, Sturm-T in Irl	T bei Schottl, H ü O-Atl u Iber	H ü Bisk	H ü SW-GB	H m Kernen ü O-Atl u NW -D	H ü GB, H ü M-D	H ü Nsee u Alpen	H ü Norw u Nsee	H ü Skand	H ü Skand		
Bodenströmung 12 UTC zyklonal (z), antizyklonal (a)	a-z	a-z	a-z	a	a	a-z	z	a-z	z	a-z	a-z		
Strömung auf 500 hpa 00 UTC	N fl a	NW a	W a	W z	NW fl z	NNO z	N fl z	NW a	NO z	NO fl z	NNW z		
zutreffende Wettersymbole	2 hr	5 f	5 f	3 r	3 r	2 r	2 r	2 r	2 hr	2-3 r	2 r		

VES 60 ERI ZWI 24*1549* T*-5	MER 0 VEN ZWI 20*1146* A W	SON 120 GSZ ZWI 02*2031* WAA 02*2032* H +3	MER 45 URA ZWI 23*0901* STI 08*0903* T -1	SON 150 OUA ZWI 04*1612* STE 04*1613* T -3	MER 120 EL6 ZWI 26*0728* WAA 26*0728* A	MER 30 SED ZWI 27*5255* STI 27*5256* T -1	CER 30 CHI WID 08*3558* FIS 08*3558* H* +5	MER 0 KNI KRE 00*2110* KRE 00*2110* T ---	MER 150 SAT KRE 01*4018* WAS 01*4019* T ---	SON 90 ORC ZWI 10*0954* JUN 10*0953* A
SON 30 KNI ZWI 00*4529* KRE 00*4529* H K ---	MER 72 CHI ZWI 20*2317* WID 08*2317* H W +1	VES 72 APO ZWI 25*0320* WID 13*0320* A*	MER 60 ERI ZWI 24*1743* WID 24*1741* A	MER 144 PAL ZWI 24*4449* WAS 00*4449* T -1	JUP 30 GaZ STE 27*0145* SCH 27*0145* H* +6	MER 72 ORC ZWI 28*0928* JUN 10*0929* T -2	MAR 180 ORC FIS 10*0932* JUN 10*0932* H +8	SAT 72 APO WAS 01*4204* WID 13*4204* A*	SON 45 ERI ZWI 09*2025* WID 24*2024* A	MAR 72 KN2 STE 12*1356* STE 00*1355* A
SON 120 PAL ZWI 00*5343* WAS 00*5343* T -3	SON 120 SAT ZWI 01*5109* WAS 01*5110* A	SON 72 NEP ZWI 02*4217* FIS 20*4218* A W	MAR 0 CER FIS 07*5742* FIS 07*5743* A W	MER 150 PLU ZWI 24*4728* STE 24*4729* H +2	MER 0 VES ZWI 26*1852* ZWI 26*1853* H +2	MAR 45 PLU FIS 09*4531* STE 24*4531* A	VEN 45 VAR ZWI 17*1659* LÖW 02*1659* H +2	MER 150 PAL FIS 09*0146* WAS 00*2854* SCH 27*0146* A W*	CER 72 GaZ FIS 09*0146* SCH 27*0146* A	SON 90 ORC ZWI 10*0954* JUN 10*0953* A
MER 144 PLU ZWI 18*5011* STE 24*5011* A	MER 90 NEP ZWI 20*4132* FIS 20*4134* H K +2	SAT 144 VES WAS 01*4810* ZWI 25*4810* A*	MAR 60 URA STI 08*1240* STI 08*1240* A	CER 144 VAR FIS 08*1449* LÖW 02*1449* H* +5	VES 150 JUP ZWI 26*5809* STE 26*5809* H* +5	SON 30 URA ZWI 08*2526* STI 08*2525* T -3	VES 72 ORC ZWI 28*0948* JUN 10*0947* H* +11	MAR 135 EL6 FIS 11*0431* WAA 26*0430* A	MER 30 VAR KRE 02*1848* LÖW 02*1848* H +1	SON 90 ORC ZWI 10*0954* JUN 10*0953* A
PAL 72 APO WAS 00*5320* WID 12*5320* A*	PLU 150 VES STE 24*4924* WAA 26*0430* A*	MAR 144 VAR FIS 08*1355* LÖW 02*1356* H +4	MAR 72 APO ZWI 25*1842* WID 13*1842* A	MAR 72 GaZ FIS 09*0144* SCH 27*0145* A	VES 180 GaZ ZWI 27*0145* SCH 27*0145* A*	SON 60 CHI ZWI 08*3910* WID 08*3911* H ---	MER 90 GSZ KRE 02*2032* WAA 02*2031* A	VEN 135 SAT ZWI 16*4053* WAS 01*4053* A	SON 135 PLU ZWI 09*4247* STE 24*4247* H +3	SON 90 ORC ZWI 08*3910* FIS 08*5705* FIS 08*5704* T K -6
MAR 150 JUN FIS 05*5307* WAA 05*5306* A	PAL 144 VES ZWI 24*5118* WAS 24*5118* A*	MAR 60 URA STI 08*1240* STI 08*1240* A	MER 144 PLU ZWI 18*4703* STE 24*4703* T -2	MER 150 JUP ZWI 27*0041* STE 27*0041* T -1	MAR 30 CHI FIS 08*3050* WID 08*3049* T -4	MER 180 GaZ ZWI 27*0143* SCH 27*0145* T -4	VES 30 SED ZWI 27*5503* STI 27*5504* A*	VES 120 HAU ZWI 26*0744* WAA 26*0745* H* +5	MAR 45 ERI FIS 09*1845* WID 24*1845* H +4	MER 144 SAT ZWI 25*4702* WAS 01*4700* H +1

Mai 2020: Fehlprognosen

Datum	Vorzeichen Symbol	Analyse
9.	+12 2 r	Tief Aki mit Kern über der Biskaya. Sonne 135° Quaoar Tf um 16:23 UTC, Neptun 144° Haumea ?* um 15:53 UTC des Vortags. Auf 500 hPa antizyklonal. Wettersymbolprognose korrekt.
12.	-4 2 hr	Hoch Quirinius über Nordostatlantik. Flacher Index, einzelner negativer Tag.
16.	-17 2 f	Hoch Quirinius I und II mit Kernen über dem Ostatlantik und Tschechien. Die vier T-Aspekte von Mars, Sonne und Merkur schienen in der Bodenatmosphäre eine Impulsumkehr zu erfahren. (Venus, die wir als hell strahlenden Abendstern der vergangenen Wochen bewundern konnten, ging am 13. in die Rückläufigkeit über.) Auf 500 hpa aber erfolgte entsprechend dem Premeteo-Index eine Ausdehnung des nordischen Höhentiefs nach Süden bis an die Nordseite der Alpen, wobei sich sein Kern vom Nordmeer nach Skandinavien verlagerte.
17.	-20 2 f	Hoch Quirinius I über dem Ostatlantik, Hoch Quirinius II über Westukraine. Auf 500 hpa zyklonal. Analyse siehe 16. Mai.
21.	-11 2 hr	Hoch Rolf über Skandinavien. Einzelner, negativer Tag.
23.	+21 5 f	Tief Gudrun bei Schottland. Es hatte sich am 21. bei einem Premeteo-Index von -11 (Einzeltag) über dem Nordatlantik bilderbuchmäßig in einer schönen Spirale schnell zu einem Sturmtief entwickelt, doch streifte es unsere Region mit zwei Tagen Verspätung gegenüber dem Premeteo-Index nur mit seiner südlichen Wolkenfahne. Auf 500 hPa antizyklonal.
29.	-5 2 hr	Hoch Steffen mit Kernen über Norwegen und Nordsee. Flacher Index, einzelner negativer Tag, auf 500 hPa zyklonal.

Monatsauswertung (Lahr)

Mai 20

H-Wetterlagen

	Anzahl der Wetterlagen	Anzahl der Tage	Niederschlag in Liter	H*	Hf	H	T*	Tf	T	L
normal	3	26	21,7 / 29,5	8	7	26	2	1	29	1
anormal	0	0	0	0	0	0	0	0	0	0
gesamt	3	26	21,7 / 29,5	8	7	26	2	1	29	1

Verhältnis H/Tage = $41/26 = 1,58$

Verhältnis T/Tage = $32/26 = 1,23$

T-Wetterlagen

	Anzahl der Wetterlagen	Anzahl der Tage	Niederschlag in Liter	H*	Hf	H	T*	Tf	T	L
normal	1	2	2,0 / 0	3	0	0	0	1	2	0
anormal	2	3	24,6 / 36	1	0	2	0	1	0	0
gesamt	3	5	26,6 / 36	4	0	2	0	2	2	0

Verhältnis H/Tage = $6/5 = 1,20$

Verhältnis T/Tage = $4/5 = 0,8$

ganzer Monat	Anzahl der Wetterlagen	Anzahl der Tage	Niederschlag in Liter	H*	Hf	H	T*	Tf	T	L
	6	31	48,3 / 65,5	12	7	28	2	3	31	1

Gesamtzahl H-Aspekte: 47

Gesamtzahl T-Aspekte: 36

Zahl aller Aspekte: 193

Quotient H/T = 1,31

Gesamtzahl L-Aspekte: 1

Niederschlag Durbach: s.o. hinter Schrägstrich

r = richtig hr = halbrichtig f = falsch

Symbolprognose in Tagen	18 r 7 hr 6 f
-------------------------	---------------

Premeteo-Index pro Tag	HWL +198/26 = +7,62	TWL +5/5 = +1
------------------------	---------------------	---------------

bezüglich des Vorzeichens richtige Tage	24	bezüglich des Vorzeichens falsche Tage	7
---	----	--	---

Bei der Auswertung des Januar 2017 wurde entdeckt, dass im Index 3 möglicherweise nur dann Auslösungsaspekte aktiviert werden, wenn der Konjunktionsplanet einen Aspekt mit einem Planeten bildet, der einen höheren Rang hat als der betroffene Konjunktionsplanet selbst. Dies bestätigte sich im Laufe des ganzen Jahres 2017. Manchmal entstand der Eindruck, dass die im korrigierten Index 3 nicht mehr angerechneten Aspekte auf 500 hpa zum Teil doch anwesend waren. Ab Januar 2018 werden nur noch die im Index 3 korrigierten Prognosen ausgewertet.